

АКАДЕМИЯ НАУК СССР

---

# ВОДНЫЕ РЕСУРСЫ

(ОТДЕЛЬНЫЙ ОТТИСК)

5

---

МОСКВА · 1983

УДК 550.83/84

**МАТЕМАТИЧЕСКАЯ МОДЕЛЬ АБРАЗИОННОГО ПРОЦЕССА  
ДЛЯ УСЛОВИЙ ПРЯМОЛИНЕЙНОГО БЕРЕГОВОГО СКЛОНА**

ЕСИН Н. В., МОСКОВКИН В. М., ОКУНЬ А. В.

Для анализа процесса разрушения морских берегов при отсутствии вдольберегового потока наносов в [1] предложено уравнение баланса пляжеобразующего материала в виде

$$\frac{dW}{dt} = avH - kW, \quad (1)$$

где  $W$  — объем обломочного материала на пляже,  $m^3/m$ ;  $v$  — скорость отступления клифа,  $m/год$ ;  $H$  — высота клифа,  $m$ ;  $a$  — доля материала, образующего наносы волнового поля в породах, слагающих берег;  $k$  — коэффициент истираемости наносов,  $1/год$ ;  $t$  — время,  $год$ . Для замыкания этого уравнения использовались эмпирические зависимости скорости отступления клифа от объема обломочного материала ( $v=f(W)$ ). В случае легкоразрушаемых пород (глин, суглинков), слагающих береговую склон, эта зависимость близка к гиперболической [1, 3, 5]:

$$v = \frac{b}{W}, \quad (2)$$

где  $b=const$ ,  $m^3/год$ . Аппроксимация данных натуральных наблюдений для прочных пород флиша [2] привела к зависимости [1, 3]

$$v = v_{max} \frac{W}{W_{opt}} \left( 2 - \frac{W}{W_{opt}} \right), \quad (3)$$

где  $v_{max}$  — максимальная скорость абразии, соответствующая оптимальному объему  $W_{opt}$  обломочного материала.

В [1] исследовался ход абразионного процесса, протекающего в условиях неизменной высоты клифа ( $H=const$ ). В настоящей статье рассмотрен более общий случай переменной высоты клифа. Решение задачи в такой постановке необходимо для описания эволюции поверхности шельфа и процесса срезания волнами прилегающих к морю гор в плиоцен-плейстоцене, а также для решения некоторых вопросов рационального укрепления морских берегов.

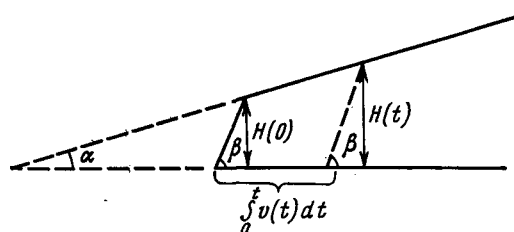


Рис. 1. Схема математической модели абразионного процесса

Дополнительное замыкание уравнения (1) удастся сделать с помощью кинематического соотношения в предположении прямолинейного берегового склона и параллельного отступления прямолинейного клифа. Эти два предположения наиболее часто выполняются в реальной природной обстановке. Кинематическое соотношение получим из геометрического подобия треугольников, возникающих при параллельном отступании клифа (рис. 1):

$$\frac{H(t)}{\int_0^t v(t) dt + \frac{H(0)}{\operatorname{tg} \beta} + H(0) \left( \frac{1}{\operatorname{tg} \alpha} - \frac{1}{\operatorname{tg} \beta} \right)} = \operatorname{tg} \alpha, \quad (4)$$

где  $\alpha, \beta$  — углы наклона берегового склона и клифа. Продифференцировав (4), получим

$$\frac{dH}{dt} = \frac{\operatorname{tg} \alpha}{\left( 1 - \frac{\operatorname{tg} \alpha}{\operatorname{tg} \beta} \right)} v(t). \quad (5)$$

Без ограничения общности в дальнейшем будем рассматривать это уравнение при  $\beta=90^\circ$  (вертикальный клиф). Итак, мы пришли к системе двух обыкновенных нелинейных дифференциальных уравнений

$$\begin{aligned} \frac{dW}{dt} &= af(W)H - kW; \\ \frac{dH}{dt} &= \operatorname{tg} \alpha f(W), \end{aligned} \quad (6)$$

где  $v=f(W)$ . Начальные условия:  $W(0)=W_0, H(0)=H_0$ .

Система уравнений (6) сводится к одному обыкновенному дифференциальному уравнению второго порядка

$$\frac{d^2W}{dt^2} + k \left( 1 - \frac{Wf'(W)}{f(W)} \right) \frac{dW}{dt} - \frac{f'(W)}{f(W)} \left( \frac{dW}{dt} \right)^2 - a \operatorname{tg} \alpha f^2(W) = 0, \quad (7)$$

где штрихи над функцией  $f(W)$  означают дифференцирование ее по  $W$ .

Уравнение (7) в свою очередь заменой  $P(W)=dW/dt$  сводится к уравнению Абеля второго рода [4]. Дальнейшие возможности аналитического исследования этого уравнения зависят от конкретного вида функции  $f(W)$ . Для условий, описываемых функцией (2), аналитическое исследование системы уравнений (6) удобно провести в фазовой плоскости  $(H, W)$ , для чего следует разделить первое уравнение системы на второе:

$$\frac{dW}{dH} + \frac{k}{b \operatorname{tg} \alpha} W^2 = \frac{a}{\operatorname{tg} \alpha} H. \quad (8)$$

Это специальное уравнение Риккати, приводимое к уравнению Бесселя [4] с помощью замен:

$$v(H) = \frac{k}{b \operatorname{tg} \alpha} W(H), \quad \frac{du}{dH} = v(H)u(H).$$

Окончательное общее решение уравнения (8) получено нами в виде

$$W(H) = \frac{b \operatorname{tg} \alpha}{k} \left[ \frac{1}{2\sqrt{H}} + \frac{Z'_{1/2}(\lambda H^{3/2})}{Z_{1/2}(\lambda H^{3/2})} \right], \quad (9)$$

где  $Z_{1/2}(x) = C_1 I_{1/2}(x) + C_2 I_{-1/2}(x)$ ,  $C_1, C_2$  — постоянные интегрирования,  $I_{1/2}$  и  $I_{-1/2}$  — функции Бесселя,

$$\lambda = \frac{2}{3} \sqrt{\frac{ak}{b}} \cdot \frac{1}{\operatorname{tg} \alpha},$$

$i$  — мнимая единица; штрих над функцией  $Z$  означает дифференцирование ее по  $H$ .

Асимптотическое решение (6) при больших  $H$  имеет вид

$$W(H) \approx \sqrt{\frac{abH}{k}}. \quad (10)$$

Оно совпадает с предельным (при  $t \rightarrow \infty$ ) решением для случая  $H=const$  [1].

При численном и аналитическом решении системы уравнений (6) она предварительно приводилась к безразмерному виду

$$\begin{aligned} \frac{dW'}{dt'} &= K \frac{H'}{W'} - W'; \\ \frac{dH'}{dt'} &= \frac{1}{W'}, \end{aligned} \quad (11)$$

где

$$H' = \frac{H}{\bar{H}}, \quad W' = \frac{W}{\bar{W}}, \quad t' = kt, \quad \bar{H} = \frac{b \operatorname{tg} \alpha}{\bar{W}k}, \quad K = \frac{ab^2 \operatorname{tg} \alpha}{k^2 \bar{W}^3}.$$

За характерный объем материала можно взять начальный объем  $\bar{W} = W(0) = W_0 \neq 0$ .

На рис. 2 представлены результаты численных расчетов с шагом  $\Delta t' = 0,1$ , выполненные методом Рунге — Кутты, при  $W'(0) = 1, H'(0) = \gamma = 5/6$  и разных  $K$  на временном интервале 0,2, соответствующем реальному 26-летнему интервалу времени при  $k = 0,1$  1/год. При  $K =$

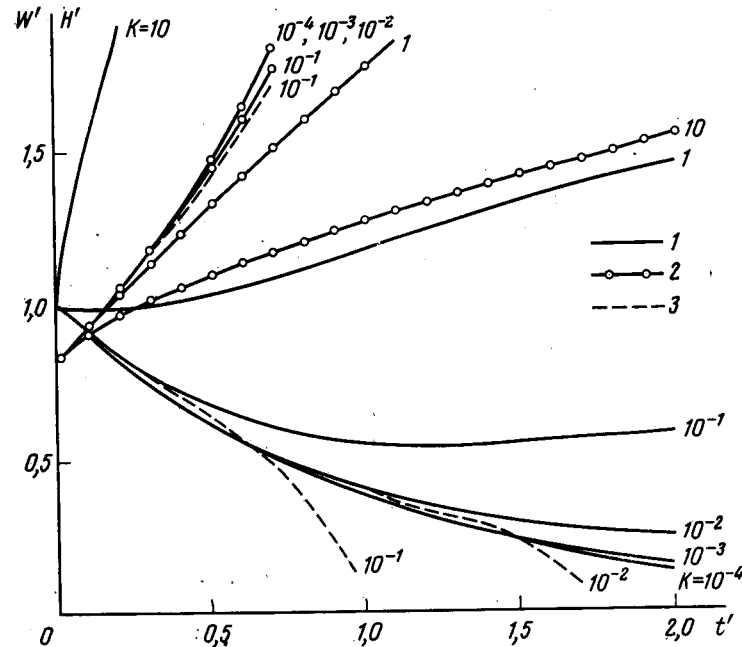


Рис. 2. Численные и приближенные решения системы уравнений (11)  
1 — численные решения  $W'(t')$ ; 2 — численные решения  $H'(t')$ ;  
3 — приближенные решения  $W'(t')$  и  $H'(t')$

$= 10^{-4} - 10^{-2}$  величина  $W'(t')$  является монотонно убывающей функцией на рассматриваемом интервале. При  $K = 0,1$  кривая  $W'(t')$  имеет минимум при  $t' \approx 1,2$ . Другие кривые ( $K = 10^{-4} - 10^{-2}$ ) также имеют минимумы при  $t' > 2$ , причем, чем меньше  $K$ , тем меньше минимальное значение  $W'(t')$  и тем более длительный отрезок времени требуется для его достижения. Штриховой линией показаны решения, полученные методом малого параметра при  $K \leq 0,1$  на участках, где они отличаются от численных решений. При  $K = 10^{-4}, 10^{-3}$  оба решения для  $W'(t')$  совпадают на интервале времени 0,2 с численным решением. В этих случаях хорошую точность дает даже нулевое приближение (оно отличается от численного в третьем знаке после запятой). Чем больше величина  $K$ , тем меньше интервал совпадения решений.

При  $K = 1$  величина  $W'(t')$  имеет минимум в окрестности точки  $t' = 0,1$ . При  $K = 10$   $W'(t')$  возрастает.

Таким образом, при некотором  $K$ , лежащем в интервале  $1 < K < 10$ , существует граничная кривая, разделяющая класс кривых, возрастающих в начальный отрезок времени, от класса кривых, убывающих в этот отрезок времени. Такая граничная кривая, как будет ясно из дальнейшего изложения, соответствует случаю, когда начальная точка  $(H_0', W_0')$  лежит в фазовой плоскости на предельной кривой  $W' = \sqrt{KH'}$ . Это будет иметь место при  $K = 5/6$ . Таким образом, в зависимости от начального значения  $W_0'$  и других параметров абразии в начальной стадии

процесса объем гальки может как возрастать, так и уменьшаться, что совпадает с выводами работы [1].

В заключение отметим, что численные расчеты при  $K = 1$  (рис. 2) соответствуют данным натуральных измерений [1, 3, 6]:  $a = 0,02$ ;  $b = 40$  м<sup>3</sup>/год;  $W(0) = \bar{W} = 10$  м<sup>2</sup>;  $H(0) = 10$  м — и характерным дополнительным параметрам  $k = 0,1$  1/год,  $\operatorname{tg} \alpha = 0,3$ .

Проведем теперь анализ системы уравнений (6) в случае квадратичной функции  $f(W)$ , имеющей вид (3). Для этого приведем систему уравнений (6) к безразмерному виду

$$\frac{dW'}{dt'} = W'(2 - W')H' - W';$$

$$\frac{dH'}{dt'} = KW'(2 - W'),$$

(12)

где

$$W' = \frac{W}{W_{\text{опт}}}, \quad H' = \frac{H}{\bar{H}}, \quad t' = kt, \quad \bar{H} = \frac{kW_{\text{опт}}}{aV_{\text{max}}}, \quad K = \frac{aV_{\text{max}}^2 \operatorname{tg} \alpha}{k^2 W_{\text{опт}}}$$

В отличие от предыдущего случая аналитических решений здесь получить невозможно. Поэтому рассмотрим только численные решения.

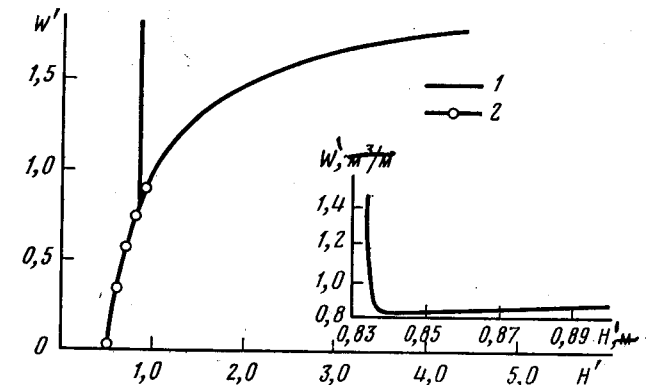


Рис. 3. Численное решение системы уравнений (12) в фазовой плоскости  $W'(H')$  (на врезке — детальное поведение решения в окрестности минимума)

1 — численное решение; 2 — предельное решение

Для условий побережья Новороссийского геологического района [1—3] имеем  $k = 0,1$  м/год;  $a = 0,3$ ;  $v_{\text{max}} = 0,01$  м/год;  $W_{\text{опт}} = 0,5$  м<sup>2</sup>;  $W(0) = 1,0$  м<sup>2</sup>;  $H(0) = 13,9$  м. По этим данным получим следующие начальные условия, необходимые для решения системы уравнений (12):  $W'(0) = 2, H'(0) = 5/6$ . Параметр  $K$  брался равным  $10^{-3}$ , что соответствует реальному уклону берегового склона в рассматриваемом районе:  $\alpha \approx 9^\circ - 10^\circ$ . На рис. 3 и 4 представлены численные решения рассматриваемой системы для вышеуказанных условий. Решение в фазовой плоскости имеет четко выраженный минимум при  $H' = 0,841$ , равный  $W'_{\text{min}} = 0,811$ . Это соответствует моменту времени  $t' = 8,15$  ( $t = 81,5$  лет). На врезке к рис. 3 показано поведение решения в фазовой плоскости в окрестности этого минимума.

При  $H' \geq 2$  решение  $W'(H')$  выходит на предельное  $W' = 2 - 1/H'$ , которое следует из первого уравнения системы (12) при  $dW'/dt' = 0$ . При этом  $W'$  имеет горизонтальную асимптоту  $W' = 2$ . Из анализа второго уравнения системы (12) видим, что кривая  $H'(t')$  имеет две точки перегиба, соответствующие  $W'_{\text{min}} = (dW'/dt' = 0)$  и  $W' = 1$ . Отметим, что графики на рис. 4 представляют собой прогноз на 1500 лет вперед долговременной эволюции береговой системы для условий Новороссийского геологического района.

В целом полученные решения показывают, что со временем параметры абразии ( $W, v$ ) становятся независимыми от начальных условий.

На рис. 5 показаны численные решения в фазовой плоскости при  $K=1; 10; 100$  и двух начальных условиях:  $W'(5/6)=2$  и  $W'(0)=2$ . Хорошо виден отмеченный выше эффект порождения класса кривых с минимумами. Рассматривая решения в фазовой плоскости, приведенные на рис. 3, 5, видим закономерное достижение минимумов на пересечении с предельной кривой. На рис. 5 видно закономерное увеличение и смещение минимума в сторону больших  $H'$  при увеличении  $K$ , а также то, что, чем больше начальная высота клифа (при одинаковых начальных объемах материала), тем больше минимальное значение функции  $W'$ . Это обстоятельство дает следующие практические рекомендации. Если в одинаковых прочих условиях высота клифа на одном из участков больше, чем на соседнем, то искусственное изъятие материала целесообразно производить на участке с большей высотой клифа, так как в этом случае быстрее произойдет восполнение изъятого материала за счет поступления с клифа.

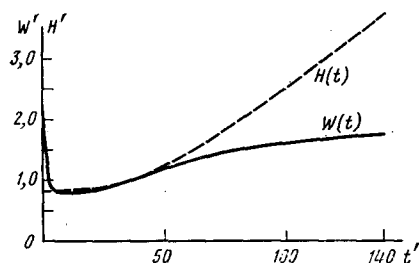


Рис. 4

Рис. 4. Численные решения системы уравнений (12)

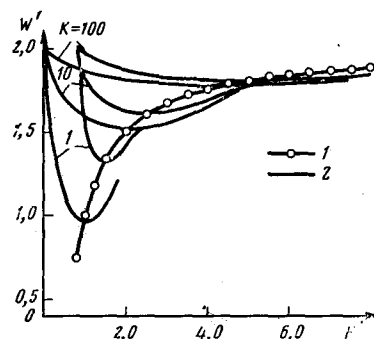


Рис. 5

Рис. 5. Численные решения системы уравнений (12) в фазовой плоскости  $W'(H')$  при различных начальных условиях и значениях  $K$   
1 — предельное решение; 2 — численные решения

В соответствии с характером поведения решения  $W$  по закону  $f(W)$  будет вести себя скорость отступления клифа (скорость абразии). Рассмотрим изменение скорости абразии на примере побережья Новороссийского геологического района (рис. 3, 4). Так как скорость абразии изменяется по закону  $W'(2-W')$ , то ее максимальное значение достигается при единичном объеме материала ( $W'=1$ ), который отделяет область увеличения скорости абразии при возрастании  $W'$  от области ее уменьшения также при возрастании  $W'$ .

Таким образом, в первые годы, когда  $W'$  уменьшается от 2 до 1, будет происходить увеличение скорости абразии до ее максимального значения. Это будет иметь место в интервале от 0 до 1,6—1,7, т. е. в течение первых 16—17 лет. Далее скорость абразии начнет уменьшаться сначала достаточно быстро, затем все медленнее и медленнее. В интервале 50—200 лет (т. е. в течение 150 лет) скорость абразии стабилизируется в окрестности своего минимального значения, медленно увеличиваясь, начиная с  $t=81,5$  лет, где функция  $W$  достигает своего минимума. При  $t>200$  лет начинается более интенсивный рост скорости абразии. Второе изменение характера процесса произойдет при достижении уровня  $W'=1$  ( $W=0,5 \text{ м}^2$ ), т. е. при  $t=356$  лет. С этого времени начнется замедленное затухание процесса абразии. На конечный прогнозируемый момент времени  $t=1500$  лет объем материала и высота клифа равны соответственно  $W=0,875 \text{ м}^2$  и  $H=66,67 \text{ м}$ .

Численная реализация модели (6) оформлена в виде специальной программы, записанной на языке ФОРТРАН для ЭВМ ЕС-1020. В про-

грамме допускаются задание произвольных функций  $f(W)$ , а также выдача массивов скоростей и точек отступления клифа. В дополнение к двум выше рассмотренным случаям проделаны расчеты для линейной и экспоненциальной функций  $f(W)$ , анализ которых здесь не приводим.

Теперь укажем на один важный вывод, который можно сделать из анализа численных решений. В зависимости от начальных условий  $H_0, W_0$  решения в фазовой плоскости  $H, W$  ведут себя различным образом:

1) когда начальная точка  $H_0, W_0$  находится выше предельной кривой  $af(W)H-kW=0$ , фазовая траектория (решение  $W(H)$ ) монотонно убывает до пересечения с этой кривой, где достигает своего минимума и далее асимптотически стремится к предельной кривой;

2) когда начальная точка  $H_0, W_0$  находится ниже предельной кривой, имеет место монотонное асимптотическое стремление к ней;

3) когда начальная точка  $H_0, W_0$  находится на предельной кривой, имеет место движение по этой кривой (фазовая траектория совпадает с предельной кривой). Именно этот случай имел место, когда говорилось о существовании граничной кривой в плоскости  $t, W$ , разделяющей класс кривых возрастающих и убывающих (эта граничная кривая при переходе в фазовую плоскость трансформируется в предельную).

Полученные решения позволяют сделать некоторые практические рекомендации при хозяйственном освоении береговой зоны. Например, нецелесообразно делать слишком большую отсыпку материала для наращивания пляжа и защиты берега, так как в результате истирания гальки в первые годы большой его объем будет бесполезно потерян. Поэтому начальный объем материала лучше планировать исходя из предельной кривой. То же можно сказать и об искусственном изъятии материала.

Рассмотренная модель может быть использована при хозяйственном освоении прибрежной зоны в случае, когда берегоукрепительные работы планируется вести с помощью формирования пляжного материала, без укрепления берегов (клифов) подпорными стенами и т. д. В противном случае модель неприменима, так как из моделируемой реальной обратной связи (защитное, точнее регулирующее, влияние обломочного материала на разрушение клифов). Таким образом, данная модель наиболее хорошо подходит к управлению нарушенных естественных береговых систем, когда это управление сводится к подстройке системы к режиму динамического равновесия. При дальнейшем развитии модели в ней можно учесть произвольную начальную форму берега.

Еще одним важным следствием выполненного анализа является следующее. Через геологически короткий отрезок времени (десятки, сотни лет) абразия переходит в режим, не зависящий от начальных условий ( $W$  стремится к предельному значению и становится близким  $W_{пр}$ ). Эта особенность абразии позволяет при анализе эволюции шельфа в плиоцен-плейстоцене рассчитывать в первом приближении ее скорость (в зависимости от высоты клифа) по формулам, описывающим этот предельный режим, что существенно упрощает реконструкцию береговых палеопроцессов.

#### Литература

1. Есин Н. В. О роли обломочного материала в абразионном процессе.—Океанология, 1980, т. 20, № 1, с. 111—115.
2. Есин Н. В., Савин М. Т. Абразия флишевого берега Черноморского побережья.—Океанология, 1970, т. 10, № 1.
3. Есин Н. В., Савин М. Т., Жилев А. П. Абразионный процесс на морском берегу. Л.: Гидрометеонздат, 1980.
4. Камке Э. Справочник по обыкновенным дифференциальным уравнениям. М.: Наука, 1971.
5. Шуйский Ю. Д. Механизм развития абразионного профиля в береговой зоне моря.—Записки Болгарского геологического общества, 1976, т. 37, кн. 3, с. 112—115.
6. Шуйский Ю. Д., Шевченко В. Я. Динамика берегов Черного моря в районе мыса Бурнас.—Геоморфология, 1975, № 4, с. 98—104.

ЮО ИО АН СССР  
ВНИИВО

Поступила в редакцию  
3.XII.1981